

doi: 10.7690/bgzdh.2023.09.015

# 铁路信号电缆绝缘检测准确性优化方法

刘胜涛, 张锐, 王俊

(绵阳市维博电子有限责任公司技术中心, 四川 绵阳 621000)

**摘要:** 为提高铁路信号电缆在线绝缘检测准确性, 提出具体优化方法。通过理论建模, 分析铁路信号电缆在线绝缘检测不准确的原因, 在此基础上提出优化方法。实践结果表明, 该方法具备有效性。

**关键词:** 铁路信号电缆; 在线检测; 准确性; 优化

中图分类号: U284 文献标志码: A

## Accuracy Optimization Method for Insulation Detection of Railway Signal Cables

Liu Shengtao, Zhang Rui, Wang Jun

(Technology Center, Mianyang Weibo Electronic Co., Ltd., Mianyang 621000, China)

**Abstract:** In order to improve the accuracy of on-line insulation detection of railway signal cable, an optimization method is proposed. Through theoretical modeling, the reasons for inaccuracy of on-line insulation detection of railway signal cable are analyzed, and on this basis, an optimization method is proposed. The practical results show that the method is effective.

**Keywords:** railway signal cable; on-line detection; accuracy; optimization

### 0 引言

铁路信号电缆绝缘检测是铁路部门日常维护的常规操作, 是检查信号电缆健康状态的主要方法之一<sup>[1]</sup>, 而电缆寄生电容和信号电压是导致在线绝缘检测不准的主要原因。实际使用中, 延长测试时间可以降低寄生电容的影响, 但是信号电压存在大小变动和方向转换的情况, 会影响在线绝缘检测结果, 严重时绝缘检测数值大幅波动, 或者数值突然跳变, 导致测试不准确, 结果不可信。鉴于测不准就无法有效开展维护工作, 同时不报警和误报警还可能导致严重安全事故; 因此, 消除信号电源对在线绝缘检测结果的影响, 十分有必要提高检测准确性。笔者通过理论建模, 分析影响在线绝缘检测准确性的机理并提出优化方法。

### 1 模型分析

铁路信号电缆绝缘在线检测原理如图 1 所示。 $X_1$  和  $X_2$  是一对被测信号电缆,  $U_2$  是被测信号电缆连接的信号电源,  $R_{L1}$  和  $R_{L2}$  分别是 2 根被测电缆对地的绝缘电阻,  $U_1$  是绝缘检测装置向被测电缆注入的测试电压。

为方便计算, 将图 1 简化为理想模型: 假定  $U_2$  为 0, 则其理想模型如图 2(a)所示, 其中  $R_L$  是被测

的绝缘电阻,  $R_x$  是已知采样电阻,  $R_1$  是为了保障安全的已知限流电阻。约定  $V_x$  是  $U_2$  为 0 时  $U_1$  在  $R_x$  上产生的分压, 根据电阻分压原理可知  $V_x$  值符合如下关系式:

$$V_x = U_1 \times R_x / (R_1 + R_x + R_L) \quad (1)$$

在  $U_1$  固定且已知的条件下, 测得  $V_x$  值即可计算出信号电缆对地绝缘电阻, 即:

$$R_L = U_1 \times R_x / V_x - R_1 - R_x \quad (2)$$

由此可知  $R_L$  与  $V_x$  呈倒数关系<sup>[2]</sup>, 关系曲线如图 2(b)所示。

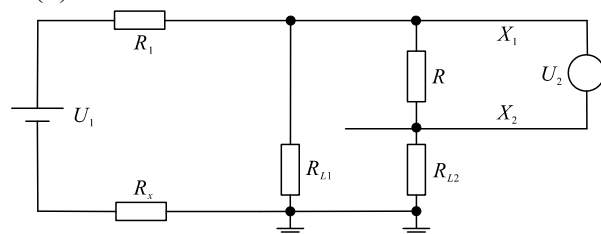


图 1 在线绝缘检测原理

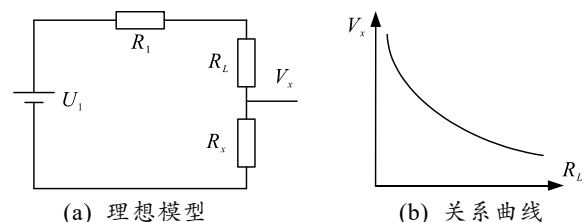


图 2 理想在线绝缘检测理论模型和关系曲线

收稿日期: 2023-05-17; 修回日期: 2023-06-30

基金项目: 中央引导地方科技发展资金项目(2022ZYDF022)

作者简介: 刘胜涛(1984—), 男, 四川人, 硕士。

实际使用中, 信号电缆是在带电状态下接受绝缘电阻检测的, 即图1中 $U_2$ 不为0, 电缆上的信号电源 $U_2$ 也被串入了绝缘检测回路。当 $U_2$ 为交流电压时可通过滤波消除其对检测结果的影响<sup>[3]</sup>, 但如果 $U_2$ 是直流电压且与 $U_1$ 在同一量级, 则其影响不能被忽略。

当 $U_2$ 为直流电压时, 在线检测理论模型可简化为如图3(a)所示。由图可知, 直流电压会叠加在 $R_x$ 上, 绝缘检测装置无法通过滤波消除其影响。

约定 $U_2$ 与 $U_1$ 同向串联时 $U_2$ 的方向为正, 反向串联时的方向为负, 即图3(a)所示的方向串联时 $U_2$ 为正。再约定 $U_2$ 引起 $R_x$ 两端电压的变化量为 $\Delta U$ ,  $\Delta R_L$ 是 $\Delta U$ 导致的绝缘电阻计算结果的变化量, 且:

$$V_x = V_x + \Delta U; \quad (3)$$

$$R_L' = R_L + \Delta R_L. \quad (4)$$

根据式(2)可得:

$$R_L' = U_1 \times R_x / V_x - R_1 - R_x. \quad (5)$$

$U_2$ 为正时 $\Delta U > 0$ , 则根据式(3)得 $V_x' > V_x$ , 根据式(5)得 $R_L' < R_L$ 。在图3(b)中表现为: 在 $U_1$ 稳定的情况下,  $R_L' \sim V_x$ 关系曲线相对 $R_L \sim V_x$ 曲线向左平移, 导致绝缘电阻计算结果偏小, 严重时可能导致误报警。

同理,  $U_2$ 为负时 $\Delta U < 0$ , 则根据式(3)得 $V_x' < V_x$ , 根据式(5)得 $R_L' > R_L$ 。在图3(b)中表现为: 在 $U_1$ 稳定的情况下,  $R_L' \sim V_x$ 关系曲线相对 $R_L \sim V_x$ 曲线向右平移, 导致绝缘电阻计算结果偏大, 严重时可能导致该报警的不报警。

综上分析, 实际使用中 $R_L$ 的在线检测值常常偏离实际值, 会随着 $U_2$ 大小的变化而波动, 当 $U_2$ 方向转换时, 会如图3(b)所示的 $R_L' \sim V_x$ 关系曲线在理论曲线的左右两侧之间跳变。

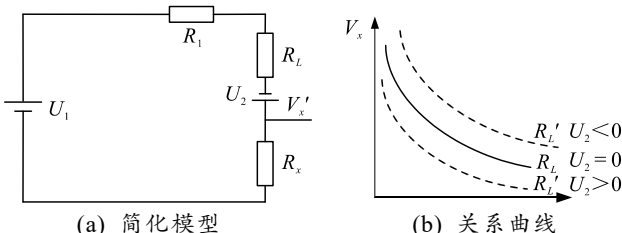


图3 实际在线绝缘检测理论模型和关系曲线

## 2 优化方法

根据上述分析, 交流成分被滤除后, 要准确测得 $R_L$ 值的办法是在检测时消除 $U_2$ 带入的直流电压分量 $\Delta U$ 。根据线性电路的叠加定理<sup>[4]</sup>:  $V_x'$ 的值等于

$U_1$ 和 $U_2$ 分别单独作用时 $R_x$ 两端电压的代数和, 即式(3)也满足线性电路叠加定理; 因此,  $\Delta U$ 也等于 $U_2$ 单独作用时 $R_x$ 两端的电压, 在绝缘检测时分别测出 $V_x'$ 和 $\Delta U$ 就能实现提高准确性的目的。

优化的具体做法: 注入 $U_1$ 前得到如图4所示的电路网络拓扑, 此时测得 $U_2$ 在 $R_x$ 上产生的电压即为 $\Delta U$ ; 然后注入 $U_1$ 得到如图3(a)所示的电路拓扑图, 此时电路网络拓扑结构和电阻值均不变, 测得 $U_1$ 和 $U_2$ 共同作用在 $R_x$ 上的电压 $V_x'$ ; 最后对 $V_x'$ 和 $\Delta U$ 做代数减法即可得到图2(a)所示的 $U_1$ 单独作用时的 $V_x$ 值, 即:

$$V_x = V_x' - \Delta U. \quad (6)$$

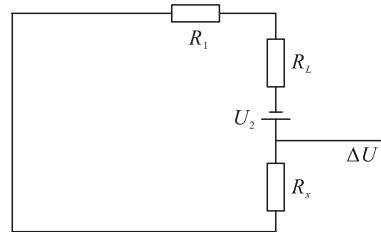


图4 叠加前理论模型

由于 $U_2$ 有正负2个方向, 因此 $\Delta U$ 也有正负2个方向, 硬件电路需要兼容 $\Delta U$ 为正向和负向2种情况。电路采集 $\Delta U$ 电压值后用软件判断方向, 还需要使用位数较高的AD, 如果AD位数不够可通过增加分段的办法提高分辨率<sup>[5]</sup>。

## 3 结束语

笔者参与研制的全电子绝缘在线检测装置, 采用了本文中介绍的优化方法。该装置已应用在地铁部分线路以及多个地方铁路。经过3年的实际使用验证, 有效消除了检测结果波动和跳变的现象, 提高了检测结果的准确性, 证明该方法是有效的。

## 参考文献:

- [1] 胡纪五, 吴庆明, 马晋嵘. 电缆绝缘电阻在线测量研究[J]. 电测与仪表, 2000, 37(5): 9-12.
- [2] 李杭生, 肖迎春. 铁道信号微机监测系统中电缆绝缘在线检测[J]. 武汉水利电力大学学报, 2000, 33(6): 92-94.
- [3] 马全生, 秦亚明, 廖立平. 铁路信号电缆绝缘在线测试[J]. 测控技术, 2003(4): 26-27.
- [4] 邱关源, 罗先觉. 电路[M]. 北京: 高等教育出版社, 2006: 82-88.
- [5] 闫石. 数字电子技术基础[M]. 北京: 高等教育出版社, 2006: 524-532.